



### Литература

1. Канторович Л.В., Заллгаллер В.А. Рациональный раскрой промышленных материалов. СПб.: Невский диалект. 2012. -304 с.
2. Мухачева Э.А., Валиахметова Ю.И., Хасанова Э.И., Телицкий С.В. Проектирование размещения ортогональных объектов на полигонах с препятствиями. Информационные технологии. 2010. № 10. С. 16-22.
3. Филиппова А.С., Кузнецов В.Ю. Задачи о минимальном покрытии ортогональных многоугольников с запретными участками. Информационные технологии. 2008. № 9 (145). 2008. С. 60-65.
4. Фроловский В. Д., Забелин С.Л. Разработка и анализ приближенных методов решения оптимизационных задач геометрического покрытия. Информационные технологии в проектировании и производстве. № 3. 2011. С. 54-58.

Ю.М. Заболотнов, А.А. Лобанков

### ОПТИМАЛЬНОЕ ДЕМПФИРОВАНИЕ КОЛЕБАНИЙ ТВЕРДОГО ТЕЛА ПРИ ЕГО ДВИЖЕНИИ ВОКРУГ НЕПОДВИЖНОЙ ТОЧКИ

(Самарский государственный аэрокосмический университет имени академика С.П. Королева (национальный исследовательский университет))

В работе рассматривается метод расчета приближенно оптимального регулятора для стабилизации движения твердого тела относительно неподвижной точки. Предполагается, что движение твердого тела близко к движению в классическом случае Лагранжа. Метод основывается на совместном применении принципа динамического программирования Беллмана [1] и метода усреднения. Метод усреднения применяется для приближенного решения уравнения Гамильтона – Якоби – Беллмана, что позволяет осуществить синтез регулятора. Предлагаемый метод расчета регулятора может быть использован во многих задачах, близких к задаче о движении волчка Лагранжа (движение твердого тела в атмосфере, движение твердого тела на тросе при разворачивании орбитальной тросовой системы и др.).

Синтез регулятора в данной работе проводится для малых углов нутации, то есть невозмущенная система представляет собой линейную систему с гироскопическими членами. После преобразования системы к нормальным координатам синтез управления осуществляется по квадратичному критерию оптимальности на асимптотически большом интервале времени. Обратное преобразование координат позволяет записать уравнение регулятора в исходных переменных и, тем самым, решить поставленную задачу.

Движение твердого тела вокруг неподвижной точки описывается классическими динамическими и кинематическими уравнениями Эйлера относительно некоторой неподвижной системы координат. При рассмотрении движения твердого тела в окрестности статически устойчивого положения равновесия (то



есть при малых углах нутации) эти уравнения удобно записать в комплексной форме. Тогда, используя результаты работы [2], получим

$$\frac{d^2 \xi}{dt^2} - i \bar{J}_z \omega_z \frac{d\xi}{dt} + \omega^2(r) \xi = \varepsilon F \left( r, \xi, \frac{d\xi}{dt}, \omega_z, \Phi \right), \quad (1)$$

$$\frac{d\omega_z}{dt} = \varepsilon f \left( r, \xi, \omega_z, \Phi \right), \quad (2)$$

$$\frac{d\Phi}{dt} = \omega_z + \varepsilon R \left( \xi, \frac{d\xi}{dt} \right), \quad (3)$$

где  $\xi = \theta e^{i\psi}$ ,  $\theta$  и  $\psi$  - углы нутации и прецессии твердого тела,  $i^2 = -1$ ,  $r$  - вектор медленно изменяющихся переменных,  $\omega^2(r) = \Delta z G(r) / J$ ,

$J = (J_x + J_y) / 2$ ;  $\Delta z > 0$  - координата, определяющая положение центра масс тела относительно неподвижной точки;  $J_x, J_y, J_z$  - осевые моменты инерции

тела;  $\bar{J}_z = J_z / J$ ;  $\Phi = \varphi + \psi$ ;  $\varepsilon F \left( r, \xi, \frac{d\xi}{dt}, \omega_z, \Phi \right)$ ,  $\varepsilon f \left( r, \xi, \omega_z, \Phi \right)$ ,

$\varepsilon R \left( \xi, \frac{d\xi}{dt} \right)$  - известные функции, характеризующие действие малых возмущений [2]. Для упрощения асимптотического анализа все возмущающие функции масштабируются одним малым параметром  $\varepsilon$ .

Невозмущенное движение тела описывается следующими уравнениями

$$\frac{d^2 \xi}{dt^2} - i \bar{J}_z \omega_z \frac{d\xi}{dt} + \omega^2(r) \xi = 0, \quad (4)$$

$$\frac{d\Phi}{dt} = \omega_z, \quad \omega_z = const, \quad r = const. \quad (5)$$

Решение невозмущенного уравнения (4) можно записать в виде

$$\xi = a_1 e^{i\psi_1} + a_2 e^{i\psi_2}, \quad (6)$$

где  $a_1$  и  $a_2$  - амплитуды колебаний (вещественные величины),  $\psi_1 = \omega_1 t + \psi_1(0)$  и  $\psi_2 = \omega_2 t + \psi_2(0)$  - фазы;  $\psi_1(0), \psi_2(0)$  - начальные значения фаз;

$\omega_{1,2} = \bar{J}_z \omega_z / 2 \pm \omega_\theta$  - частоты колебаний;  $\omega_\theta = \sqrt{\bar{J}_z^2 \omega_z^2 / 4 + \omega^2}$ .

Резонансные случаи движения твердого тела, когда угловая скорость  $\omega_z \approx \omega_{1,2}$  в данной работе не рассматриваются, так как требуют особого анализа.

С учетом вышесказанного ставится задача определения управления  $\varepsilon u$ , обеспечивающего динамическую устойчивость движения твердого тела вокруг неподвижной точки исходя из минимума квадратичного критерия оптимальности



$$I = \varepsilon \int_0^T W(a_1, a_2, u_\alpha, u_\beta) dt, \quad (7)$$

где  $W(a_1, a_2, u_\alpha, u_\beta) = b_1 a_1^2 + b_2 a_2^2 + c(u_\alpha^2 + u_\beta^2)$ ,  $b_1, b_2, c > 0$  - весовые коэффициенты. Причем амплитуды колебаний определяются в силу возмущенной системы и должны удовлетворять условиям динамической устойчивости  $\frac{da_1}{dt}, \frac{da_2}{dt} < 0$  в каждый момент времени.

Движение твердого тела рассматривается на асимптотически большом промежутке времени  $T = L/\varepsilon$ , где  $L < \infty$  - некоторая константа, поэтому функционал (7) изменяется на величину порядка  $O(1)$ .

После перехода к переменным «амплитуды-фазы» и определения оптимального управления приходим к уравнению в частных производных Гамильтона – Якоби – Беллмана

$$\varepsilon \frac{\partial V}{\partial a} \cdot X(a, \phi, r) + \varepsilon \frac{\partial V}{\partial \phi} \cdot Y(a, \phi, r) + \frac{\partial V}{\partial \phi} \cdot \omega(r) + \frac{\partial V}{\partial r} \cdot \frac{dr}{dt} + \varepsilon \sum_{k=1}^2 b_k a_k^2 + U = 0, \quad (8)$$

Здесь  $\frac{dr}{dt} = O(\varepsilon)$ ,  $U = -\varepsilon c \left[ (u_\alpha^o)^2 + (u_\beta^o)^2 \right]$ , где

$$u_\alpha^o = \frac{1}{4c\omega_\theta} \sum_{k=1}^2 (-1)^k \left( \frac{\partial V}{\partial a_k} \cos \psi_k - \frac{1}{a_k} \frac{\partial V}{\partial \psi_k} \sin \psi_k \right), \quad (9)$$

$$u_\beta^o = \frac{1}{4c\omega_\theta} \sum_{k=1}^2 (-1)^{k+1} \left( \frac{\partial V}{\partial a_k} \sin \psi_k + \frac{1}{a_k} \frac{\partial V}{\partial \psi_k} \cos \psi_k \right). \quad (10)$$

Для определения приближенного решения уравнения Гамильтона – Якоби – Беллмана используется метод усреднения. В итоге получаем

$$\varepsilon \frac{\partial V_0}{\partial a} \cdot \langle X(a, \phi, r) \rangle + \varepsilon \sum_{k=1}^2 b_k a_k^2 + \langle U \rangle + O(\varepsilon^2) + \dots = 0, \quad (11)$$

где  $\langle \cdot \rangle$  - стандартный оператор усреднения по фазам,

$$\langle U \rangle = -\frac{\varepsilon}{16c\omega_\theta^2} \left[ \left( \frac{\partial V_0}{\partial a_1} \right)^2 + \left( \frac{\partial V_0}{\partial a_2} \right)^2 \right].$$

Усреднение функций  $X(a, \phi, r)$ , входящих в уравнение первого приближения (11), когда  $\varepsilon F = 0$  при наличии линейных возмущающих функций, дает

$$\langle X(a, \phi, r) \rangle = \frac{1}{2\omega_\theta} \begin{pmatrix} v_1 a_1 \\ v_2 a_2 \end{pmatrix}, \quad (12)$$

где  $v_1 = \mu_z \omega_z + \mu \omega_1$ ,  $v_2 = -\mu_z \omega_z - \mu \omega_2$ ,  $\mu_z$  и  $\mu$  - параметры, характеризующие действующие возмущения.



Решение уравнения (11) в этом случае нетрудно найти, используя метод неопределенных коэффициентов. Тогда, определяя решение в виде  $V_0 = \sum_{k=1}^2 B_k a_k^2$ , подставляя его в (11) и приравнявая к нулю коэффициенты при  $a_1^2$  и  $a_2^2$ , получим

$$B_k = 2\omega_\theta \left[ cv_k + \sqrt{c^2 v_k^2 + cb_k} \right], \quad k = 1, 2. \quad (13)$$

Тогда функции оптимального управления (9-10) примут вид

$$u_\alpha^o = \frac{1}{4c\omega_\theta} \sum_{k=1}^2 (-1)^k \left( \frac{\partial V_0}{\partial a_k} \cos \psi_k - \frac{\varepsilon}{a_k} \frac{\partial V_1}{\partial \psi_k} \sin \psi_k \right), \quad (14)$$

$$u_\beta^o = \frac{1}{4c\omega_\theta} \sum_{k=1}^2 (-1)^{k+1} \left( \frac{\partial V_0}{\partial a_k} \sin \psi_k + \frac{\varepsilon}{a_k} \frac{\partial V_1}{\partial \psi_k} \cos \psi_k \right). \quad (15)$$

После подстановки оптимального управления (15) в уравнения для амплитуд и усреднения по фазам, получим в первом приближении метода усреднения

$$\frac{da_{1,2}}{dt} = -\frac{\varepsilon a_{1,2}}{2\omega_\theta} \sqrt{v_{1,2}^2 + b_{1,2}/c}. \quad (16)$$

Условие  $da_{1,2}/dt < 0$ , которое следует из выражения (16), обеспечивает динамическую устойчивость движения твердого тела вокруг неподвижной точки.

Для определения регулятора в других переменных осуществляется обратное по отношению к замене переменных (6) преобразование координат.

В качестве примера расчета оптимального регулятора рассматривается случай демпфирования колебаний твердого тела при следующих исходных данных:

$$\omega = 0.8c^{-1}, \quad \omega_z(0) = 1c^{-1}, \quad \bar{J}_z = 0.8, \quad \theta(0) = \pi/2, \quad \mu = 0.05, \quad \mu_z = 0.01, \\ b_1 = b_2 = 1, \quad c = 100.$$

На рис.1 показан процесс демпфирования нутационных колебаний с помощью определенного приближенно оптимального регулятора, рассчитанный по исходной нелинейной модели движения твердого тела.

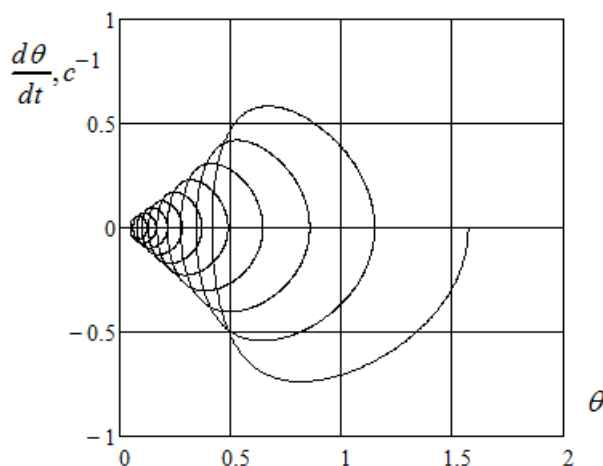


Рис. 1

### Литература

1. Беллман Р. Динамическое программирование. Москва. ИЛ. 1960.
2. Заболотнов Ю. М., Любимов В.В. Вторичные резонансные эффекты при вращении твердого тела вокруг неподвижной точки // Механика твердого тела. 2002. № 1. С. 49-59.

А.И. Заико, Э.А. Кильметов

## ПРИМЕНЕНИЯ АНИЗОТРОПНЫХ МАГНИТОРЕЗИСТИВНЫХ ДАТЧИКОВ ДЛЯ РЕГИСТРАЦИИ ГМВ

(Уфимский государственный авиационный технический университет)

В настоящее время широкое распространение получают датчики, основанные на анизотропном магниторезистивном (АМР) эффекте. Информационно-измерительные системы (ИИС), построенные на базе АМР датчиков, являются менее габаритными, тем самым получают возможность встраивания в различные готовые решения.

Создание специализированных геоинформационных систем, обеспечивающих регистрацию параметров геомагнитных возмущений (ГМВ) естественной природы происхождения, является актуальным.

В случае приложения внешнего (исследуемого) магнитного поля  $H$ , к отдельно взятому АМР-элементу, поле поворачивает вектор намагниченности тонкой магнитной пленки на угол  $\beta$ . Значение  $\beta$  зависит от направления и величины  $H$ , при этом сопротивление пермаллоевой пленки имеет не линейную зависимость от приложенного поля. В значительной мере лианеризовать выходную характеристику АМР-элемента возможно, путем задания так называемой «зубчатой» (в оригинале от англ. barber-pole) [4] структуры, схематически представленной на рис. 1. В этом случае, когда  $H \ll H_0$  сопротивление АМР-сенсора будет определяться соотношением